

# 多通道非平稳 ARMA 信号自校正去卷滤波器\*

邓自立

张焕水

(黑龙江大学应用数学研究所·哈尔滨,150080) (泰安师专数学系·山东,271000)

**摘要:** 对于通过一个已知的线性系统被观测的多通道非平稳 ARMA 信号,本文用现代时间序列分析方法<sup>[1]</sup>,基于 ARMA 新息模型,提出了自校正去卷滤波新方法. 仿真例子说明了其有效性.

**关键词:** 多通道非平稳 ARMA 信号; 去卷滤波器; 输入估计; 自校正; 现代时间序列分析方法

## 1 引言

去卷(Deconvolution),也叫反褶积或输入估计,广泛应用于通讯、信号和数据处理、反射地震学等领域<sup>[2~7]</sup>. 七十年代后期,美国 Mendel<sup>[2,3]</sup>以油田勘探地震信号处理为应用背景,用 Kalman 滤波方法提出了最优白噪声去卷估值器. Ahlen 和 Sternad<sup>[4]</sup>用谱分解方法提出了单通道 ARMA 信号最优去卷平滑器. 文[5,6,7]用现代时间序列分析方法提出了单通道白噪声或 ARMA 信号的最优或自校正去卷估值器. 本文将提出多通道 ARMA 信号的自校正去卷滤波新方法. 其特点是基于 ARMA 新息模型,通过计算输出预报器和观测白噪声滤波器便得到 ARMA 信号的去卷滤波器.

## 2 稳态最优去卷滤波器

考虑多通道非平稳 ARMA 信号  $s(t)$

$$A(q^{-1})s(t) = C(q^{-1})e(t), \quad (1)$$

它通过如下已知的线性系统被观测

$$P(q^{-1})y(t) = B(q^{-1})s(t) + R(q^{-1})v(t). \quad (2)$$

其中  $s(t)$  和  $y(t)$  是  $m \times 1$  维输入信号和输出(观测)信号;  $e(t)$  和  $v(t)$  分别是零均值、方差阵为  $Q_e$  和  $Q_v$  的独立的白噪声.  $q^{-1}$  是单位滞后算子,  $q^{-1}s(t) = s(t-1)$ ,  $A(q^{-1}), C(q^{-1}), \dots$  为如下形式的多项式矩阵

$$X(q^{-1}) = X_0 + X_1q^{-1} + \dots + X_nq^{-n}. \quad (3)$$

其中  $X_i$  为  $m \times m$  系数阵,  $A_0 = P_0 = R_0 = I_m$  ( $m \times m$  单位阵),  $C_0 = B_0 = 0$  (零阵),  $n_e = n_o = n_1, n_p = n_b = n_r = n_2$ . 假设  $s(t)$  是非平稳的,即  $A(q^{-1})$  是不稳定的,就是说  $\det A(x)$  的零点不全位于单位圆外.

假定  $P(q^{-1}), B(q^{-1}), R(q^{-1}), Q_e$  是已知的. 当  $A(q^{-1}), C(q^{-1}), Q_e$  已知时, 最优去卷滤波问题是: 基于观测数据  $\{y(t), y(t-1), \dots, y(0)\}$  求  $s(t)$  的稳态最优(线性最小方差)滤波

\* 国家自然科学基金资助课题.

本文于1992年1月16日收到. 1992年7月21日收到修改稿.

器  $\hat{s}(t/t)$ 。当  $A(q^{-1}), C(q^{-1}), Q$  未知时, 自校正去卷滤波问题是求  $s(t)$  的渐近最优滤波器  $\hat{s}(t/t)$ 。

## 2.1 ARMA 新息模型

由伴随矩阵定义<sup>[8]</sup>,  $\text{adj}B(q^{-1})$  可表为

$$\text{adj}B(q^{-1}) = q^{-(m-1)}[L_0 + L_1q^{-1} + \dots + L_{n_3}q^{-n_3}] \triangleq q^{-(m-1)}L(q^{-1}). \quad (4)$$

其中  $n_3 = n_2(m-1) - (m-1)$ , 且假设  $m \times m$  阵  $L_0$  是非异的。(2)式左乘以  $\text{adj}B(q^{-1})$  有

$$\text{adj}B(q^{-1})P(q^{-1})y(t) = \det B(q^{-1})s(t) + \text{adj}B(q^{-1})R(q^{-1})v(t). \quad (5)$$

(5)式左乘以  $A(q^{-1})$  并应用(1)式有

$$A(q^{-1})\text{adj}B(q^{-1})P(q^{-1})y(t) = \det B(q^{-1})C(q^{-1})e(t) + A(q^{-1})\text{adj}B(q^{-1})R(q^{-1})v(t). \quad (6)$$

(6)式两边左乘以  $q^{(m-1)}L_0^{-1}$  引出

$$\begin{aligned} L_0^{-1}A(q^{-1})L(q^{-1})P(q^{-1})y(t) &= L_0^{-1}L(q^{-1})B(q^{-1})C(q^{-1})e(t) \\ &\quad + L_0^{-1}A(q^{-1})L(q^{-1})R(q^{-1})v(t). \end{aligned} \quad (7)$$

注意, (7)式右边的两个滑动平均(MA)过程可用一个等价的 MA 过程唯一表示为<sup>[9]</sup>

$$D(q^{-1})e(t) = L_0^{-1}L(q^{-1})B(q^{-1})C(q^{-1})e(t) + L_0^{-1}A(q^{-1})L(q^{-1})R(q^{-1})v(t). \quad (8)$$

其中  $D(q^{-1})$  是稳定的,  $D(q^{-1}) = I_m + D_1q^{-1} + \dots + D_{n_4}q^{-n_4}$ , 且  $n_4 = n_1 + n_2m - (m-1)$ , 而  $e(t)$  是零均值、方差阵为  $Q$  的白噪声, 可证明  $e(t)$  是  $y(t)$  的新息过程<sup>[1]</sup>, 因而称由(7)和(8)式引出的 ARMA 模型

$$L_0^{-1}A(q^{-1})L(q^{-1})P(q^{-1})y(t) = D(q^{-1})e(t) \quad (9)$$

为 ARMA 新息模型。

## 2.2 稳态最优去卷滤波器 $\hat{s}(t/t)$

ARMA 模型(1)式可表为状态空间模型<sup>[1]</sup>

$$\begin{cases} \eta(t+1) = A\eta(t) + Ce(t), \\ s(t) = H_1\eta(t). \end{cases} \quad (10)$$

$$\begin{cases} \eta(t+1) = A\eta(t) + Ce(t), \\ s(t) = H_1\eta(t). \end{cases} \quad (11)$$

其中  $A = \begin{bmatrix} -A_1 & & \\ \vdots & I_{(n_1-1)m} & \\ -A_{n_1} & 0 & \cdots & 0 \end{bmatrix}, \quad C = \begin{bmatrix} C_1 \\ \vdots \\ C_{n_1} \end{bmatrix}, \quad H_1 = [I_m, 0, \dots, 0].$  (12)

观测方程(2)式有状态空间模型<sup>[1]</sup>

$$\begin{cases} z(t+1) = Pz(t) + Bs(t) + Rv(t), \\ y(t) = H_2z(t) + v(t). \end{cases} \quad (13)$$

$$\begin{cases} z(t+1) = Pz(t) + Bs(t) + Rv(t), \\ y(t) = H_2z(t) + v(t). \end{cases} \quad (14)$$

其中  $H_2 = [I_m, 0, \dots, 0]$ , 且

$$P = \begin{bmatrix} -P_1 & & \\ \vdots & I_{(n_2-1)m} & \\ -P_{n_2} & 0 & \cdots & 0 \end{bmatrix}, \quad B = \begin{bmatrix} B_1 \\ \vdots \\ B_{n_2} \end{bmatrix}, \quad R = \begin{bmatrix} R_1 - P_1 \\ \vdots \\ R_{n_2} - P_{n_2} \end{bmatrix}. \quad (15)$$

引入增广状态系统

$$\begin{cases} x(t+1) = Fx(t) + Fw(t), \\ y(t) = Hx(t) + v(t). \end{cases} \quad (16)$$

$$\begin{cases} x(t+1) = Fx(t) + Fw(t), \\ y(t) = Hx(t) + v(t). \end{cases} \quad (17)$$

其中  $x(t) = (z(t)^T, \eta(t)^T)^T$ ,  $T$  为转置号, 且  $F$  的阶为  $n_f = (n_1 + n_2)m$ ,

$$F = \begin{bmatrix} P & BH_1 \\ 0 & A \end{bmatrix}, \quad \Gamma = \begin{bmatrix} R & 0 \\ 0 & C \end{bmatrix}, \quad H = [H_2, 0], \quad w(t) = \begin{bmatrix} v(t) \\ e(t) \end{bmatrix}. \quad (18)$$

设增广系统是完全可观测的, 则可观测性矩阵

$$M = [H^T, F^T H^T, \dots, (F^T)^{n_f-1} H^T]^T \quad (19)$$

的秩为  $n_f$ , 且其伪逆为  $M^\# = (M^T M)^{-1} M^{T[8]}$ . 由(16)和(17)式有

$$\left\{ \begin{array}{l} y(t) = Hx(t) + v(t), \\ y(t+1) = Hx(t+1) + v(t+1) = H(Fx(t) + \Gamma w(t)) + v(t+1) \\ \quad = HFx(t) + H\Gamma w(t) + V(t+1), \\ \vdots \\ y(t+n_f-1) = HF^{n_f-1}x(t) + \sum_{i=0}^{n_f-2} HF^{n_f-2-i}\Gamma w(t+i) + v(t+n_f-1). \end{array} \right. \quad (20)$$

由(20)式应用射影性质<sup>[1]</sup>有稳态最优滤波器为

$$\hat{x}(t/t) = M^\# \begin{bmatrix} y(t) - \hat{v}(t/t) \\ y(t+1/t) - H\Gamma \hat{w}(t/t) \\ \vdots \\ y(t+n_f-1/t) - HF^{n_f-2} \Gamma \hat{w}(t/t) \end{bmatrix}. \quad (21)$$

其中  $\hat{x}(t/t) = (\hat{x}(t/t)^T, \hat{\eta}(t/t)^T)^T$ , 由(11)式有最优滤波器

$$\hat{s}(t/t) = H_1 \hat{\eta}(t/t). \quad (22)$$

### 2.3 稳态最优白噪声滤波器 $\hat{v}(t/t)$ 和 $\hat{w}(t/t)$

由(8)式知  $v(t)$  与  $e(t-1), \dots, e(0)$  不相关, 应用射影公式有<sup>[1]</sup>

$$\hat{v}(t/t) = \text{proj}(v(t) | e(t)) = E(v(t)e^T(t))Q_e^{-1}e(t) = Q_v Q_e^{-1}e(t). \quad (23)$$

其中  $\text{proj}$  为射影记号,  $E$  为数学期望. 又计算(8)式两边 MA 过程的相关函数可得到关系

$$D_{n_1} Q_v = (A_{n_1} L_{n_3} R_{n_2}) Q_v, \quad (24)$$

将其代入(23)式有稳态最优白噪声滤波器  $\hat{v}(t/t)$  为

$$\hat{v}(t/t) = (A_{n_1} L_{n_3} R_{n_2})^{-1} D_{n_1} e(t). \quad (25)$$

其中设  $(A_{n_1} L_{n_3} R_{n_2})$  是非异的. 由(8)式知  $e(t)$  与  $e(t), e(t-1), \dots, e(0)$  不相关, 因而有

$$\hat{w}(t/t) = (\hat{v}(t/t)^T, 0)^T. \quad (26)$$

### 2.4 稳态最优输出递推预报器 $\hat{y}(t+i/t)$

由(9)式有稳态最优输出递推预报器为<sup>[1]</sup>

$$L_0^{-1} A(\bar{q}^{-1}) L(\bar{q}^{-1}) P(\bar{q}^{-1}) \hat{y}(t+i/t) = D_i(\bar{q}^{-1}) e(t+i). \quad (27)$$

其中  $i=1, 2, \dots, n_f-1$ , 且  $D_i(\bar{q}^{-1}) = D_0 q^{-i} + \dots + D_{n_1} q^{-n_1}$ ; 当  $i>n_f$  时,  $D_i(\bar{q}^{-1})=0$ . 波号~表示只对  $\hat{y}(t+i/t)$  的第一个时标  $t+i$  运算.

注意, 将  $\hat{v}(t/t)$ ,  $\hat{w}(t/t)$  和  $\hat{y}(t+i/t)$  代入(21)式便得到  $\hat{x}(t/t)$ , 进而由(22)式得  $\hat{s}(t/t)$ .

### 3 自校正去卷滤波器 $\hat{s}(t/t)$

(25)~(27)式表明,  $\hat{v}(t/t)$ ,  $\hat{w}(t/t)$ ,  $\hat{y}(t+i/t)$  完全由 ARMA 新息模型(9)式决定. 因此当  $A(q^{-1}), C(q^{-1}), Q_v$  未知时, 可避免辨识  $C(q^{-1}), Q_v$ , 引入新的观测过程  $y^*(t) = L(q^{-1}) \cdot P(q^{-1}) y(t)$ , 用递推增广最小二乘法(RELS)<sup>[1]</sup>, 可得(9)式中  $A(q^{-1})$  和  $D(q^{-1})$  的系数阵在

时刻  $t$  的估值  $\hat{A}_i(t)$  和  $\hat{D}_i(t)$ , 且新息估值  $\hat{e}(t)$  可由(9)式递推计算为

$$\hat{e}(t) = L_0^{-1} \hat{A}(q^{-1}) L(q^{-1}) P(q^{-1}) y(t) - \hat{D}_1(t) \hat{e}(t-1) - \cdots - \hat{D}_{n_i}(t) \hat{e}(t-n_i). \quad (28)$$

将估值  $\hat{A}_i(t)$ ,  $\hat{D}_i(t)$  和  $\hat{e}(t)$  代入(25)~(27)和(21), (22)式便得到自校正去卷滤波器  $\hat{s}(t/t)$ . 显然, 假如 RELS 参数估计是一致的, 即  $\hat{A}_i(t) \rightarrow A_i$ ,  $\hat{D}_i(t) \rightarrow D_i$ ,  $t \rightarrow \infty$ , 则自校正去卷滤波器  $\hat{s}(t/t)$  将渐近于最优去卷滤波器  $s(t/t)$ .

#### 4 仿真例子

考虑两通道非平稳 ARMA 信号  $s(t)$ , 设在(1)式中  $A(q^{-1}) = I_2 + A_1 q^{-1}$ ,  $C(q^{-1}) = C_1 q^{-1}$ , 且未知参数阵为

$$A_1 = \begin{bmatrix} -1 & 0 \\ 1 & -1 \end{bmatrix}, \quad C_1 = \begin{bmatrix} 1.2 & 1.6 \\ 0.2 & 0.5 \end{bmatrix}, \quad (29)$$

设在观测方程(2)式中  $P(q^{-1}) = I_2 + P_1 q^{-1}$ ,  $B(q^{-1}) = I_2 q^{-1}$ ,  $R(q^{-1}) = I_2 + R_1 q^{-1}$ , 且已知参数阵为

$$P_1 = \begin{bmatrix} -1 & 1 \\ 0 & -0.5 \end{bmatrix}, \quad R_1 = -\frac{1}{2} I_2, \quad (30)$$

且已知  $Q_e = \text{diag}(1, 1)$ , 未知  $Q_o = \text{diag}(0.25, 0.25)$ .

应用本文方法仿真结果如图 1 至图 4 所示. 可看到未知参数阵  $A_1 = (a_{ij})$  的 RELS 参数估值  $\hat{a}_{ij}(t)$  分别收敛于相应的真实值  $a_{ij}$ , 且自校正去卷滤波器  $\hat{s}(t/t) = (\hat{s}_1(t/t), \hat{s}_2(t/t))^T$  对真实信号  $s(t) = (s_1(t), s_2(t))^T$  具有良好的跟踪性能.

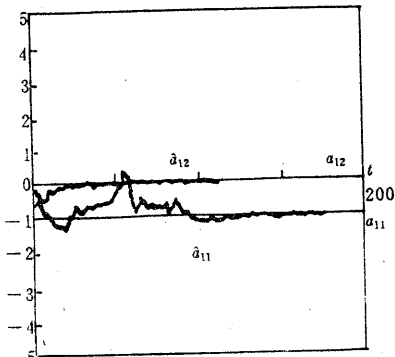


图 1 RELS 参数估值  $\hat{a}_{11}$  和  $\hat{a}_{12}$  的收敛性

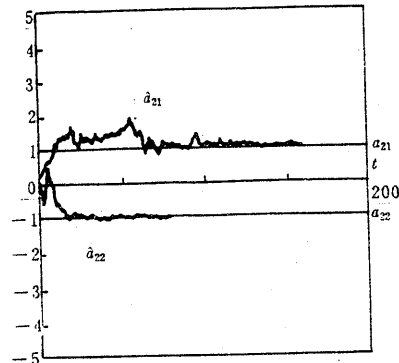


图 2 RELS 参数估值  $\hat{a}_{21}$  和  $\hat{a}_{22}$  的收敛性

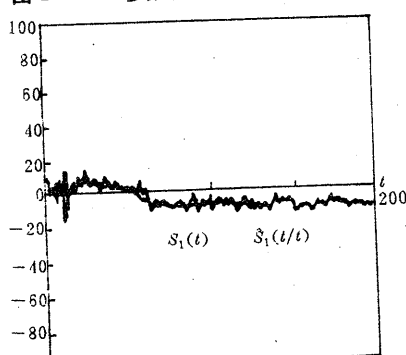


图 3 通道 1 真实信号  $s_1(t)$  和自校正去卷滤波器  $\hat{s}_1(t/t)$

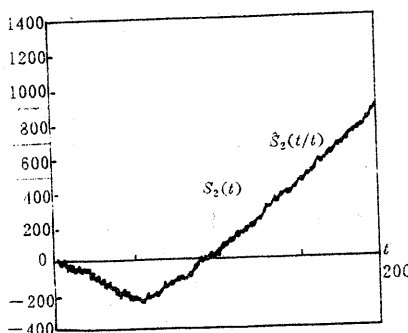


图 4 通道 2 真实信号  $s_2(t)$  和自校正去卷滤波器  $\hat{s}_2(t/t)$

## 参考文献

- [1] 邓自立,郭一新.现代时间序列分析及其应用,建模、滤波、去卷、预报和控制.北京:知识出版社,1989
- [2] Mendel, J. M. White Noise Estimators for Seismic Data Processing in Oil Exploration. *IEEE Trans. Automat. Contr.*, 1977, AC-22(5):694—706
- [3] Mendel, J. M. and Kormylo, J.. New Fast Optimal White-Noise Estimators for Deconvolution. *IEEE Trans. Geosci. Electron.*, 1977, GE-15(1):32—41
- [4] Ahlen, A. and Sternad, S.. Optimal Deconvolution Based on Polynomial Methods. *IEEE Trans. Acoustics, Speech, and Signal Processing*, 1989, ASSP-37(2):217—226
- [5] Deng, Zili. White Noise Filter and Smoother with Application to Seismic Data Deconvolution. *Proc. of 7th IFAC/IFORS Symp. on Identification and System Parameter Estimation*, York, UK, 1985, 621—624
- [6] 邓自立.应用于地震数据去卷的自校正白噪声估值器.自动化学报,1986,12(2):156—161
- [7] 邓自立.ARMA信号的自校正去卷平滑器.自动化学报,1989, 15(6):523—530
- [8] 韩京清等.线性系统理论代数基础.沈阳:辽宁科学技术出版社,1985
- [9] Priestley, M. B.. *Spectral Analysis and Time Series*, V. 2; *Multivariate Series, Prediction and Control*, Academic Press, New York, 1981

## A Self-Tuning Deconvolution Filter for Multichannel Nonstationary ARMA Signals

DENG Zili

(Institute of Applied Mathematics, Heilongjiang University • Harbin, 150080, PRC)

ZHANG Huanshui

(Tai'an Teachers' College • Shandong Tai'an, 271000, PRC)

**Abstract:** Using the modern time series analysis method, based on ARMA innovation model, this paper presents a new self-tuning deconvolution filtering approach for the multichannel nonstationary ARMA signals observed through a known linear system. Simulation example shows its usefulness.

**Key words:** multichannel nonstationary ARMA signals; deconvolution filter; input estimation; self-tuning; modern time series analysis method

### 本文作者简介

**邓自立** 1938年生.1962年毕业黑龙江大学数学系,现为黑龙江大学应用数学研究所教授.主要研究兴趣及领域是系统辨识,自校正、自适应滤波理论,信号处理,现代时间序列分析.应用成果曾获国家科技进步二等奖和省科技进步一等奖.

**张焕水** 1964年生.1984年毕业于泰安师范专科学校数学系,1991年于黑龙江大学应用数学研究所获工学硕士学位.主要研究兴趣及领域是自适应 Kalman 滤波理论,反褶积,信号处理.